

Ribbon links are self Δ -equivalent to trivial

渋谷哲夫 (大阪工大)

R^3 の link に関して種々な (self) local moves が定義され、さまざまな性質が知られている、たとえば [1], [3], [4], [5], [6], [7].

本稿は、ribbon link は有限回の self Δ -moves で trivial link にできるということを証明した [9] の要約です。

R^3 の link l と 3-ball B^3 で $l \cap B^3$ が Fig. 1(a) の tangle とする。これを Fig. 1(b) のように変形することに Δ -move という。特に Fig. 1(a) の 3本の arcs が l の 1つの component に含まれるとき、この変形を self Δ -move という。

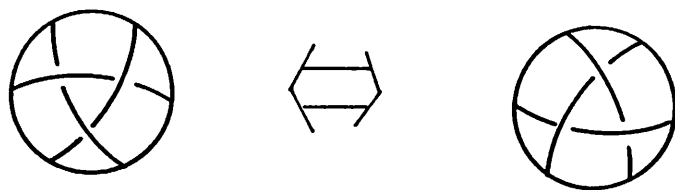


Fig. 1

R^3 の 2つの links l と l' が有限回の self Δ -moves で移り合うとき、 l と l' は self Δ -equivalent (又は l は l' に self Δ -equivalent) であるという。

n -component link $l = k_1 \cup \dots \cup k_n$ が ribbon link とは、 n 個の disks C_i ($i=1, \dots, n$) の union $C = C_1 \cup \dots \cup C_n$ について

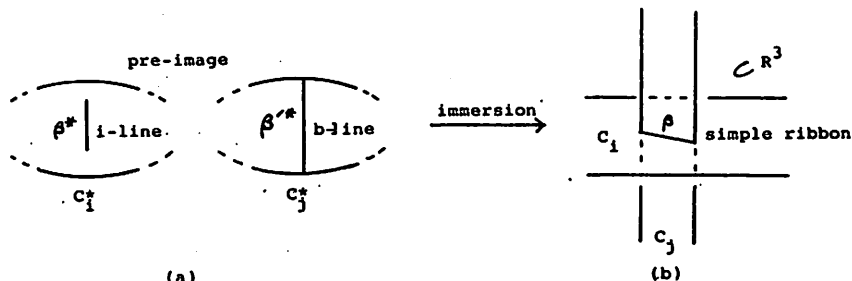


Fig. 2

C の singularity, $\mathcal{S}(C)$, が互いに交わらない ribbon type, Fig. 2(b), から成る C が存在するときをいう。 $\mathcal{S}(C)$ の arc β の原像 β^*, β'^* を a -line, b -line という。

Ribbon link の self local moves に関しては, [3], [4] で homotopic に trivial link にできることが知られている。さらに [7] で Fig. 3 のような有限回の self local move (すなわち 4本の arcs が link の同じ component に含まれる) で trivial link にできることが得られている。

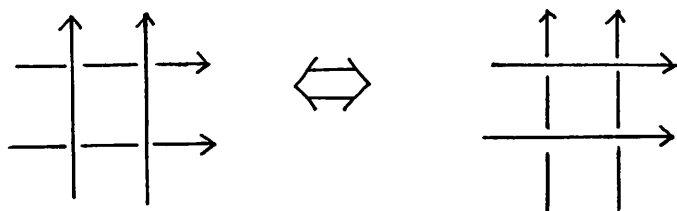


Fig. 3

[9] では さらに つぎを示している。

Theorem. Ribbon links are self Δ -equivalent to a trivial link.

Remark. l と l' が有限回の Fig. 3 の self local move で移り合うとき, それらは self $\#$ -equivalent (I) であることにすぎず, l と l' が self Δ -equivalent であれば, l と l' は self $\#$ -equivalent (II) であることは知られているが, [8], しかしこの逆が成立するかどうかは, まだ未解決である。

Theorem の言正明.

Fig. 4(a) から 4(d) への変形は ambient isotopy と 1 回の Δ -move で実現できる。したがって Fig. 4(a) の 3本の arcs が link の同じ component に含まれているならば, Fig. 4(a) と 4(d) の links は self Δ -equivalent である。

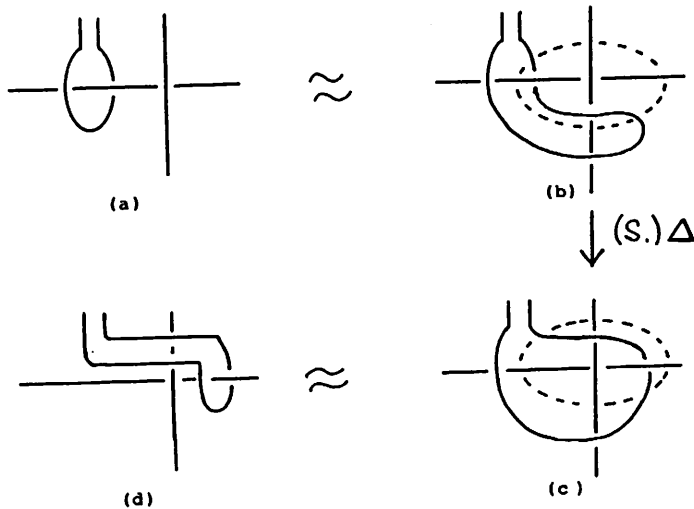


Fig. 4

$l = k_1 \cup \dots \cup k_n$ を ribbon link とすると, l はある trivial link からの fusion により得られる, [2]. したがって disks の union $\mathcal{D} = \bigcup_{i=1}^n \mathcal{D}_i$, $\mathcal{D}_i = \bigcup_{j=0}^{P_i} \mathcal{D}_{ij}$ と bands の union $\mathcal{B} = \bigcup_{i=1}^n \mathcal{B}_i$, $\mathcal{B}_i = \bigcup_{j=1}^{P_i} \mathcal{B}_{ij}$ が存在し, $\partial(\mathcal{D} \cup \mathcal{B}) = l$, $\partial(\mathcal{D}_i \cup \mathcal{B}_i) = k_i$ と $\mathcal{A}(\mathcal{D} \cap \mathcal{B})$ が ribbon type の arcs としてよい。さらに各 $\mathcal{D}_i \subset \mathbb{R}^2[i]$ と $\partial \mathcal{B}_{ij} \cap \partial \mathcal{D}_i = \partial \mathcal{B}_{ij} \cap (\mathcal{D}_{i0} \cup \mathcal{D}_{ij})$ になるように変形できる, Fig. 5.

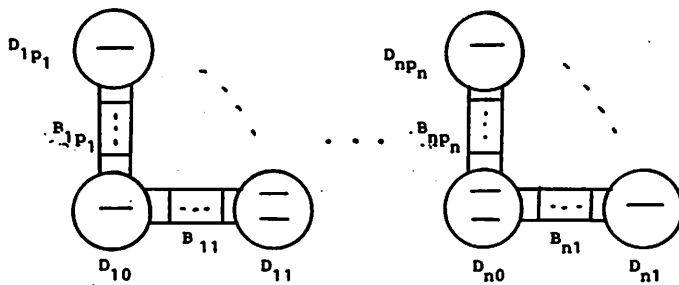


Fig. 5

Lemma 1. ある \mathcal{B}_{ij} と $\mathcal{A}(\mathcal{B}_{ij} \cap \mathcal{D}_{i0})$ (or $\mathcal{A}(\mathcal{B}_{ij} \cap \mathcal{D}_{ij}) = \emptyset$ とする。もし $\mathcal{A}(\mathcal{B}_{rs} \cap \mathcal{D}_{i0})$ (or $\mathcal{A}(\mathcal{B}_{rs} \cap \mathcal{D}_{ij}) \neq \emptyset$ for $r \neq i$ ならば, これを $\# \mathcal{A}(\mathcal{B}_i \cap \mathcal{D}_i)$ を増やす ambient isotopy で \mathcal{D}_{ij} (or \mathcal{D}_{i0}) に移動できる, ここで $\# \mathcal{A}(X)$ は $\mathcal{A}(X)$ の arcs の数を表す。

Proof. $\mathcal{A}(\mathcal{B}_{ij} \cap \mathcal{D}_{i0})$ (or $\mathcal{A}(\mathcal{B}_{ij} \cap \mathcal{D}_{ij}) = \emptyset$ ならば $\mathcal{B}_{ij} \cup \mathcal{D}_{i0}$

(or $\text{Big} \cup \text{Dip}$) is non-ambiguous to disk "as far as Fig. 6 is concerned" \square

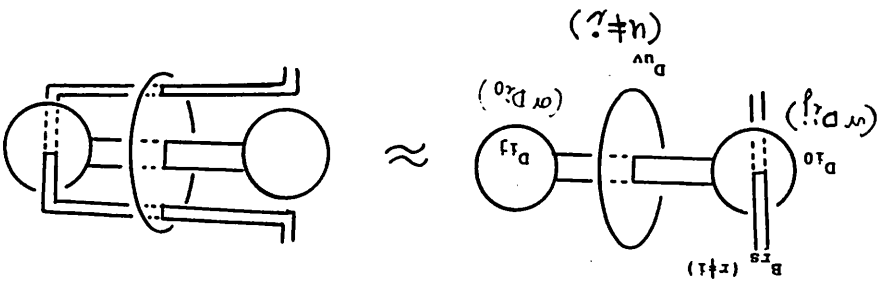


Fig. 6

$b_1, b_2 \in \mathcal{B}(\text{Big} \cup \text{Dip})$ are connected component τ $\mathcal{B} \supset b_1 \cup b_2$ is not b_1 or b_2 adjacent on Big with respect to \mathcal{D}_i via $\mathcal{B} \cap \mathcal{D}_i = \emptyset$ are true.

Lemma 2. b_1, b_2 adjacent on Big w.r. to \mathcal{D}_i take a finite Δ -move is τ . $\# \mathcal{B}(\text{Big} \cup \text{Dip})$ is increased to b_1, b_2 of Big in a sequence of exchange.

Proof. $\text{Dip}(\subset \mathcal{D}_1)$ is b_1 is contained in Fig. 7 is a shape

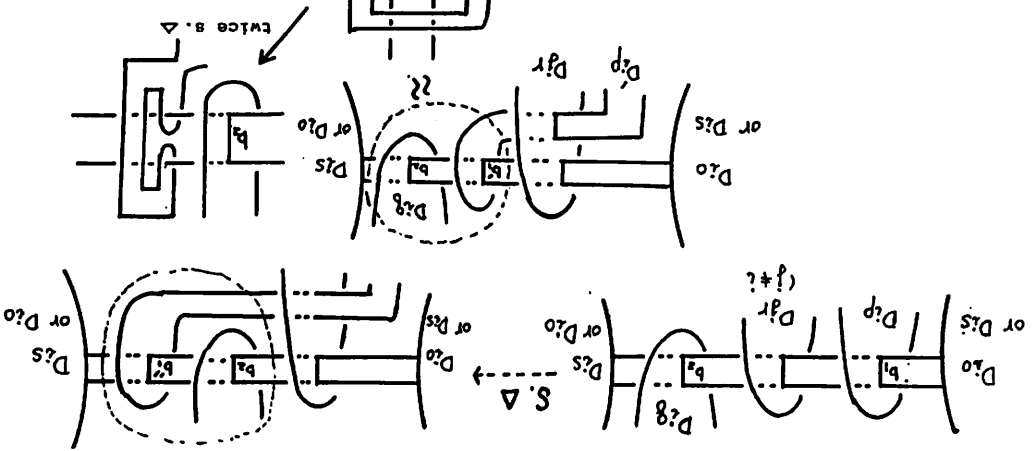


Fig. 7

をすることにより Lemma 2 が得られる。□

Fig. 7 の変形で D_{ip} から得られる disk D''_{ip} (Fig. 7(c)) については b_1, b_2 の選び方よりつきが分かる。

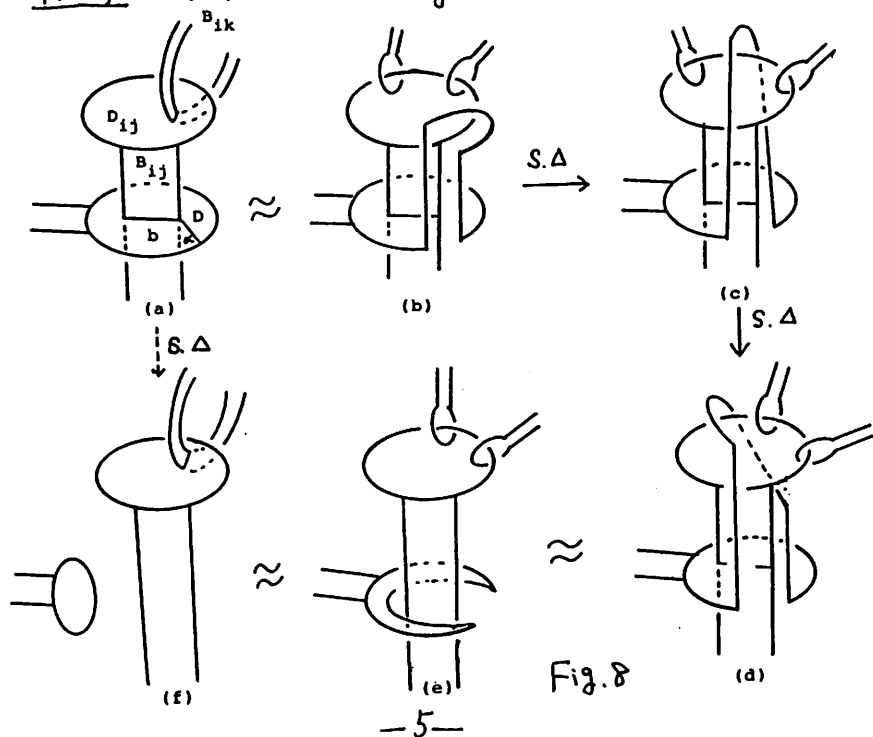
(1) D''_{ip} は non-singular で $D''_{ip} \cap (\mathcal{D}_i - D_{ip}) = \emptyset$, すなわち $\mathcal{D}_i = (\mathcal{D}_i - D_{ip}) \cup D''_{ip}$ は互いに交わらない non-singular disks の union である。

* (2) $B \cap D_{jr} \neq \emptyset$ for $j \neq i$ ならば, $\mathcal{S}(D''_{ip} \cap D_{jr})$ は ribbon type でその原像の b -line, i -line はそれぞれ D''_{ip}, D_{jr} のそれに含まれる。

つきに b を $\mathcal{S}(B_{ij} \cap \mathcal{D}_i)$ の arc で $B_{ij} \cap \mathcal{D}_{ij}$ に最も近いものとする。

Lemma 3. もし $b \subset \mathcal{D}_i - D_{ij}$ ならば有限回の self Δ -moves で, $\#\mathcal{S}(B_{ij} \cap \mathcal{D}_i)$ を増えずに b を除去できる。

Proof. まず $(B - B_i) \cap D_{ij} = \emptyset$ の場合を考える。 $B \in B_{ij} - b$ の



$\partial B_{ij} \cap \partial D_{ij}$ を含む *connected component* とし, D を $\mathcal{D}_i - D_{ij}$ の b を含む *disk* とする。すると $B \cup D_{ij}$ は *non-singular* になり, D を $B \cup D_{ij}$ に沿って Fig. 8(a) から 8(f) まで変形し, b を除去する。 $(B - \mathcal{D}_i) \cap \mathcal{D}_i = \emptyset$ だから, この変形は $\# \delta(B_i \cap \mathcal{D}_i)$ を増えずに *self Δ -moves* で実現できる。

つぎに $(B - \mathcal{D}_i) \cap D_{ij} \neq \emptyset$ の場合を考える。すなわち, ある *band* B_{uv} ($u \neq i$) で $B_{uv} \cap D_{ij} \neq \emptyset$ とする。このときは B_{uv} を $B \cup D_{ij}$ に沿って Fig. 9(a) から 9(b) に変形し, その後 Fig. 8 の変形を Fig. 9(b) から 9(c) に適用し, 9(d) まで B'_{uv} を変形する。この変形も $\# \delta(B_i \cap \mathcal{D}_i)$ を増えずに *self Δ -move* により b を除去できる。□

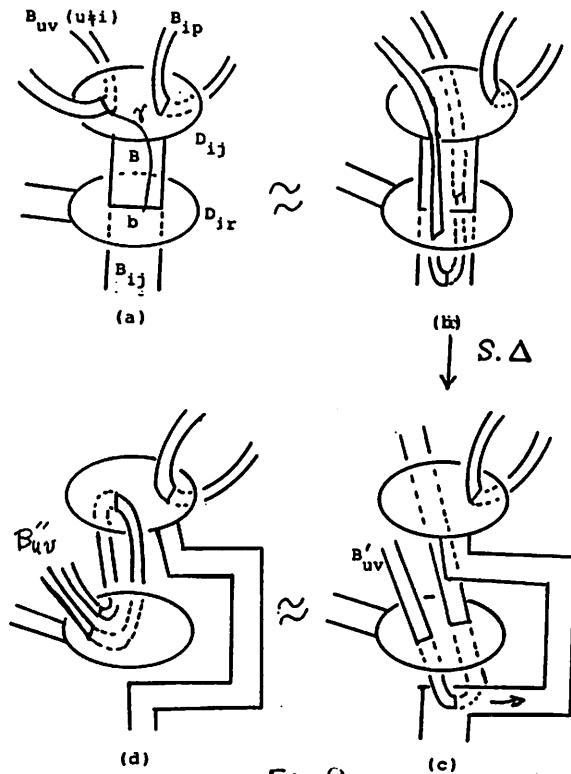
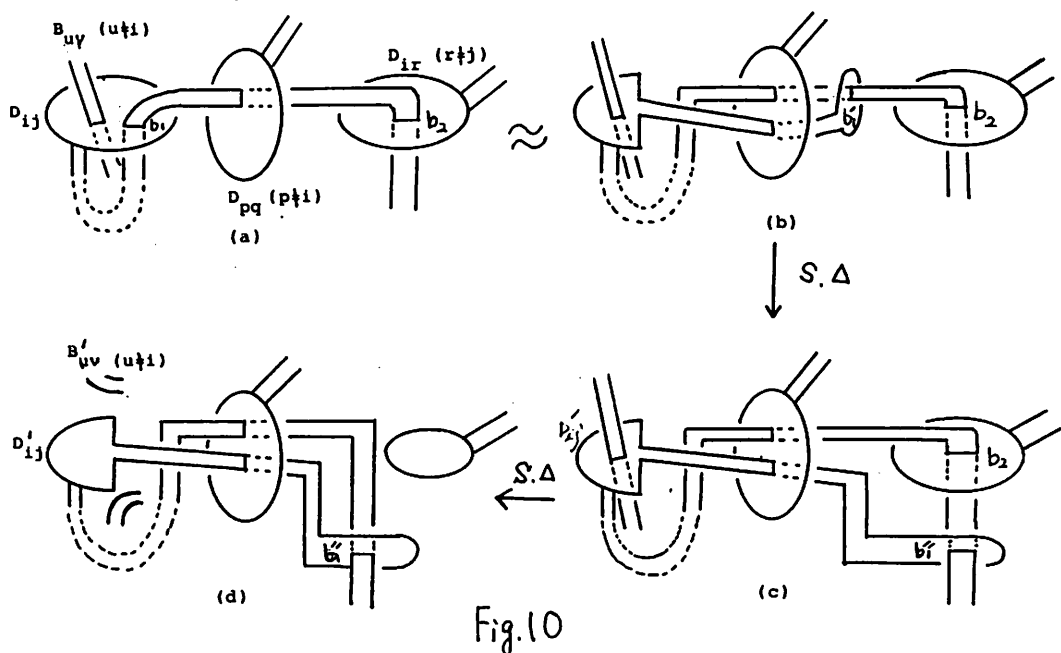


Fig. 9

Lemma 4. $\delta(B_{ij} \cap \mathcal{D}_i)$ の 2 つの arcs b_1, b_2 が adjacent on B_{ij} w. r. to \mathcal{D}_i で $b_1 \subset D_{ij}$, $b_2 \subset \mathcal{D}_i - D_{ij}$ で b_2 と $\partial B_{ij} \cap \partial D_{ij}$ がそれぞれ $B_{ij} - b_1$ の異なる *connected components* に含まれているとする。このとき, b_2 を $\# \delta(B_i \cap \mathcal{D}_i)$ を増えずに有限回の *self Δ -moves* で除去できる。

Proof. $b_1, b_2 \in \text{Lemma 4}$ の条件を満たす $\beta (= \partial B_{ij} \cap \partial D_{ij})$ に最も近い pair α を, B, B_1 をそれぞれ $B_{ij} - b_1 - b_2, B_{ij} - b_2$ の connected component τ $\partial B \supset b_1 \cup b_2, \partial B_1 \supset \beta$ とする。

まず $\delta(B_1 \cap D_{ij}) = b_1$ の場合を考える。このとき D_{ij} を B_1 に沿って Fig. 10(b) のように変形し, 2回の self Δ -moves を行ない Fig. 10(c) の disk D'_{ij} を得る。この結果 $B_1 \cup D'_{ij}$ は non-singular だから, Lemma 3 を適用することにより b_2 を除去できる。(ここで D'_{ij} は Lemma 2 の証明の D'_{ip} の条件 \square と同じ条件を保存している。)



つぎに $\delta(B_1 \cap D_{ij}) - b_1 \neq \emptyset$ のときは, $\delta(B_1 \cap D_{ij})$ の各 arc について上の議論を適用して, D_{ij} から D'_{ij} で $B_1 \cup D'_{ij}$ が non-singular になるように変形して, Lemma 3 を使い b_2 を除去する。以上の変形で $\# \delta(B_i \cap D_i)$ は増えない。□

これらの Lemmas を使い Theorem を言証明する。

Proof of Theorem. l を ribbon link とし $D_i (< R^2[i])$, B_i を Fig. 5 の形に置く。

まず $\delta(B_i \cap D_i) = \emptyset$ のとき, すなわち $B_i \cup D_i$ が non-singular の

(62)

ときを考える。もし $Brs(r \neq 1)$ で $Brs \cap D_{ij} \neq \emptyset$ ($j \neq 0$) があれば、Lemma 1 により、これを D_{10} に移す。故に $Brs \cap D_{ij} = \emptyset$ ($r \neq 1, j \neq 0$) としてよい。したがって $D_{10} \cup (\mathcal{D} - \mathcal{D}_1)$ を fix した R^3 の ambient isotopy で $\mathcal{B}_1 \cup \mathcal{D}_1$ を $R^2[1]$ に置くことができる。

つぎに $\mathcal{B}(\mathcal{B}_1 \cap \mathcal{D}_1) \neq \emptyset$ のときを考える。もしある band B_{ii} で $\mathcal{B}(B_{ii} \cap \mathcal{D}_1) = \emptyset$ ならば、上と同じ議論で $\mathcal{D} - D_{ii}$ を fix して $B_{ii} \cup D_{ii}$ を $R^2[1]$ に置くことができる。したがって各 $i=1, \dots, n$ で $\mathcal{B}(B_{ii} \cap \mathcal{D}_1) \neq \emptyset$ と仮定する。

ある $u \neq v$ で $B_{iu} \cap D_{iv}$ が ribbon type の arc b を含むとする。 b を $B_1 \cap (\mathcal{D}_1 - D_{iu})$ の中で $\beta (= \partial B_{iu} \cap \partial D_{iu})$ に最も近いものとし、 B を $B_{iu} - b$ の β を含む方とする。もし $\mathcal{B}(B \cap D_{iu}) = \emptyset$ ならば、 b は Lemma 3 により除去でき、 $\mathcal{B}(B \cap D_{iu}) \neq \emptyset$ ならば、 b の選り方より、 b は Lemma 4 を用いて除去できる。

上の議論を可能なかぎり行う。しかも $j \geq 2$ で \mathcal{D}_j は fixed であるから $\mathcal{D}_j \subset R^2[j]$ である。一方で $\mathcal{D}_1 = D_{10} \cup \dots \cup D_{1p_1}$, $\mathcal{B} = \mathcal{B}_1 \cup \dots \cup \mathcal{B}_n$ は変形され、これを $\mathcal{D}'_1 = D'_{10} \cup \dots \cup D'_{1p_1}$, $\mathcal{B}' = (\mathcal{B}'_1 \cup \dots \cup \mathcal{B}'_n)$ と書く。上の変形後 $\mathcal{D}'_1 \subset R^2[1]$ であるが、各 D'_{1i} は condition ④ を満たす。

今までの議論により、 $\mathcal{B}(B'_{ii} \cap \mathcal{D}'_1) = \mathcal{B}(B'_{ii} \cap D'_{ii})$ で $\mathcal{B}(B'_{ii} \cap D'_{ii}) \neq \emptyset$ としてよい。

$\partial B'_{ii} \cap \partial D'_{10}$ を $\partial B'_{i-1} = \bar{\nu} > \bar{\nu}$ slide することにより、この band を $\partial D'_{i-1}$ と $\partial D'_{ii}$ の arcs を結ぶように変形する、ただし $i=1, \dots, p_1-1$, (Fig. 11 (b) では $p_1=3$)。この変形後 \mathcal{B}'_1 から得られるものを $\bar{\mathcal{B}}_1$ とする。(Fig. 11 (b) のように $\#\mathcal{B}(\bar{\mathcal{B}}_1 \cap \mathcal{D}'_1)$ が増加する。)

補題 有限回の self Δ -moves で $\mathcal{B}(\bar{\mathcal{B}}_1 \cap (\mathcal{D}'_1 - D'_{1p_1}))$ を D'_{1p_1} に移すことができる。

Proof. $u \neq 1$ なるある band $B'_{uv} (< \mathcal{B}'_u)$ で $B'_{uv} \cap D'_{10} \neq \emptyset$ とする。 $\mathcal{B}(B'_{ii} \cap \mathcal{D}'_1) = \mathcal{B}(B'_{ii} \cap D'_{ii})$ であるから $B'_{1p_1} \cup D'_{10}$ は non-singular で Lemma 1 より $B'_{uv} \cap D'_{10}$ を $B'_{1p_1} = \bar{\nu} > \bar{\nu}$ D'_{1p_1} に移動する、Fig. 11 (b), (c)。その結果、 $\bar{\mathcal{B}} = (\mathcal{B}'_1 - \mathcal{B}'_1) \cup \bar{\mathcal{B}}_1$ となり、

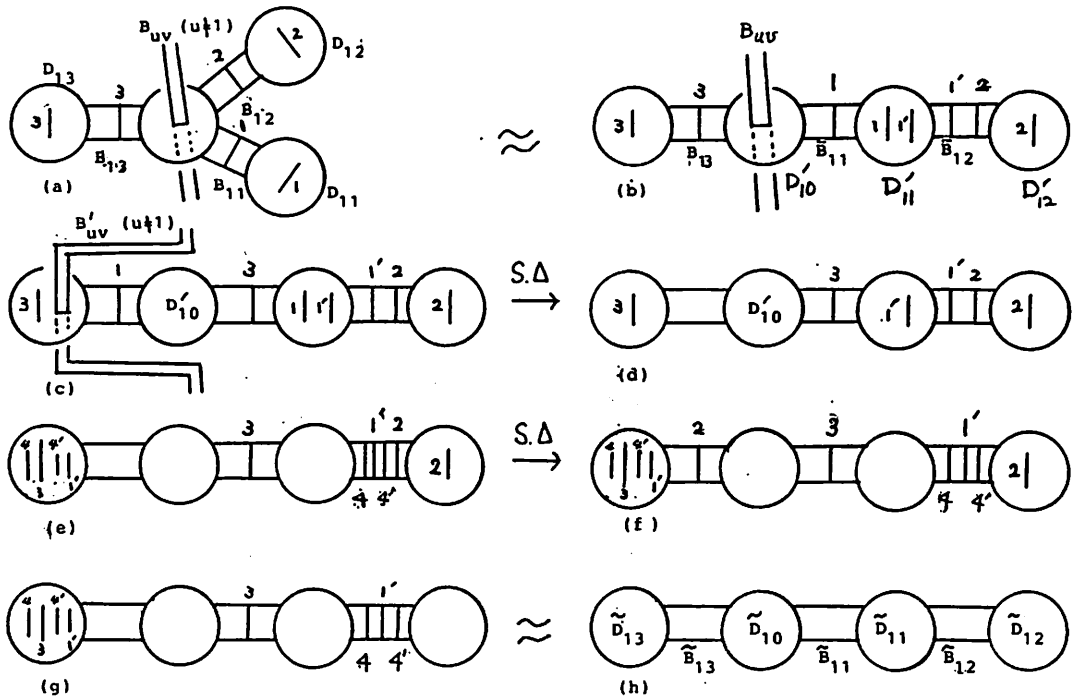


Fig. 11

$\mathcal{S}(\bar{B} \cap D'_{10}) = \emptyset$ である。 $\bar{B}_{11} \cup \bar{B}'_{11} \cup D'_{10} (= E_{11})$ が non-singular になり、 Lemma 2 より E_{11} 上で $\mathcal{S}(\bar{B}'_{11} \cap D'_{10})$ と $\mathcal{S}(\bar{B}_{11} \cap D'_{10})$ の順を交換できる、 Fig. 11 (b), (c)。 今と Lemma 3 により、 arc "1" を除去できる、 Fig. 11 (d)。 今の議論を必要な限りくり返し D'_{11}, E_{11} から得られる disks を D'_{11}, E_{11} と改めて書くと、 $D'_{11} \cup E_{11}$ は non-singular である。 $\mathcal{S}(\bar{B}_{11} \cap D'_{11})$ の arc "1'" は D'_{11} に含まれるように ambient isotopy で変形できる、 Fig. 11 (d), (e)。 もし Fig. 11 (e) で $D'_{11} \cap (\bar{B}'_{11} \cap \bar{B}'_{11}) \neq \emptyset$ ならば Fig. 11 (b), (c) と同じ変形を行ない、これを D'_{11} に移す。 この結果 $E_{11} \cup \bar{B}_{12} \cup D'_{11} (= E_{12})$ は non-singular である。 arcs "2" と "1'", "3", "4", "4'" の順を Lemma 2 を用いて変更して、 Fig. 11 (f), その後、 Lemma 3 により "2" を除去する、 Fig. 11 (g)。 上の変形をくり返すことにより、 $\mathcal{S}(\bar{B}_1 \cap D'_i)$ の各 arc は D'_{i-1} の中に移動することができる。 \square

(Proof of Theorem の続き) したがって $E_{i-1} (= \bar{B}_{11} \cup \dots \cup \bar{B}'_{i-1} \cup \bar{B}'_{i-1} \cup D'_{10} \cup \dots \cup D'_{i-1})$ は non-singular である。 ここで $E_{i-1} \cup D'_{i-1}$ を C_i と表すと $C_i \cap D_i$ ($i \geq 2$) は ribbon type である。 この各 b-line は C_i の原像に含まれるので、 D_i を fix した

(64)

ambient isotopy で C_1 を $R^2[1]$ に置くことができる。

今までの変形で $B_1 \cup D_1$ から $\tilde{B}_1 \cup \tilde{D}_1 (\subset R^2[1])$ を得たとする。
 $i \geq 2$ で $D_i \subset R^2[i]$ より $(\tilde{B}_1 \cup \tilde{D}_1) \cap D_i = \emptyset$ である。

つぎに $B_2 \cup D_2$ についても上の議論を行う。ここで $\tilde{B}_1 \cap D_2 = \emptyset$ だから、Lemmas 1, 2, 3, 4 の変形は $\tilde{B}_1 \cup \tilde{D}_1 (\subset R^2[1])$ を fix してできる。その結果、 B_2, D_2 から \tilde{B}_2, \tilde{D}_2 で $\tilde{B}_2 \cup \tilde{D}_2 \subset R^2[2]$, $(\tilde{B}_1 \cup \tilde{D}_1, \subset R^2[1])$ を得る。

上の議論をくり返すことにより、有限回の self Δ -moves で l を trivial link に変形できる。□

Theorem の拡張としてつぎの予想がある。

Conjecture. 2つの links が concordant ([3], [4]) ならば、それらは self Δ -equivalent である。

References

- [1] L. Cervantes and R. A. Fenn: Boundary links are homotopy trivial, Quart. J. Math. Oxford, 39 (1988), 151-158.
- [2] A. Kawachi, T. Shibuya and S. Suzuki: Descriptions on surfaces in four space, I, Math. Sem. Notes, Kobe Univ., 10 (1982), 75-125.
- [3] C. H. Giffen: Link concordance implies link homotopy, Math. Scand., 45 (1979), 243-254.
- [4] D. L. Goldsmith: Concordance implies homotopy for classical links in M^3 , Comm. Math. Helv., 54 (1979), 347-355.

- [5] J. W. Milnor: Link group, *Ann. of Math.*, 50 (1954), 177-195.
- [6] H. Murakami and Y. Nakanishi: On a certain move generating link-homology, *Math. Ann.*, 284 (1989), 75-89.
- [7] T. Shibuya: Self $\#$ -unknotting operation of links, *Memo. Osaka Insti. Tech.*, 34 (1989), 9-17
- [8] T. Shibuya: Two self $\#$ -equivalences of links in solid tori, *Memo. Osaka Insti. Tech.*, 35 (1990), 13-24.
- [9] T. Shibuya: Ribbon links are self Δ -equivalent to trivial, pre-print.